

PONTE SUSPENSA COM AMORTECIMENTO INTERNO DO TIPO DERIVADA FRACIONÁRIA

Rafael Oliveira de Jesus

IX ENCONTRO DE PÓS-GRADUAÇÃO EM MATEMÁTICA DA UFBA

(Universidade Federal da Bahia)

22/11/2023

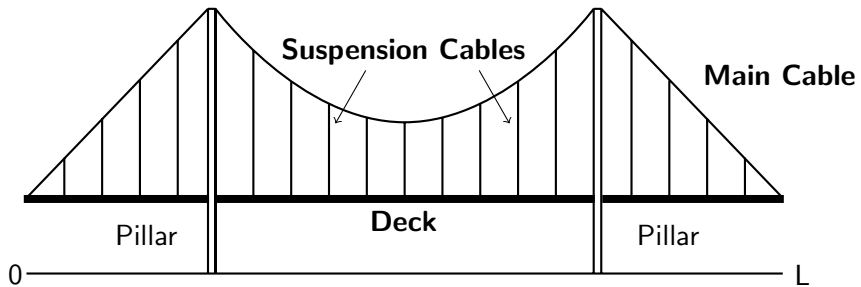
Resumo

Neste trabalho estudamos a boa colocação e o decaimento polinomial da solução de um sistema de ponte suspensa com deck modelado pela teoria de vigas de Timoshenko-Ehrenfest, e sob ação de dissipações internas do tipo derivada fracionária.

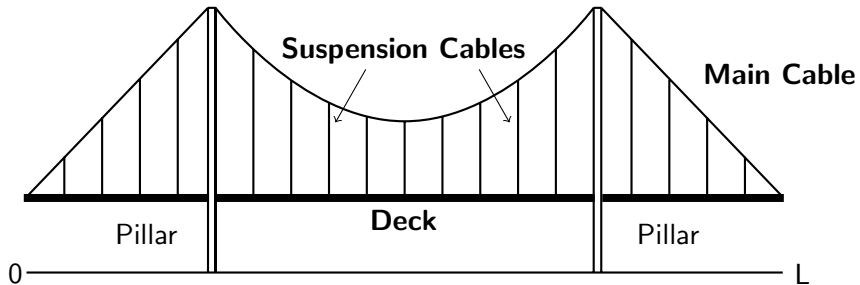
Resumo

Neste trabalho estudamos a boa colocação e o decaimento polinomial da solução de um sistema de ponte suspensa com deck modelado pela teoria de vigas de Timoshenko-Ehrenfest, e sob ação de dissipações internas do tipo derivada fracionária. A boa colocação foi obtida via o Teorema de Lumer-Phillips e o decaimento polinomial aplicando o Teorema de Borichev-Tomilov.

Introdução



Introdução



$$\begin{aligned} u_{tt} - au_{xx} - \tau(\phi - u) &= 0, \\ \rho_1\phi_{tt} - k(\phi_x + \psi)_x + \tau(\phi - u) &= 0, \\ \rho_2\psi_{tt} - b\psi_{xx} + k(\phi_x + \psi) &= 0. \end{aligned}$$

Introdução

Assume-se que os cabos de suspensão são molas elásticas lineares com uma rigidez padrão $\tau > 0$. A constante $a > 0$ é o módulo de elasticidade da corda (que prende o cabo principal ao convés). Os coeficientes positivos ρ_1 e ρ_2 são a densidade da massa e o momento de inércia da viga, respectivamente. Além disso, b representa o coeficiente de rigidez da secção transversal e k representa o módulo de elasticidade do material do deck.

Introdução

Assume-se que os cabos de suspensão são molas elásticas lineares com uma rigidez padrão $\tau > 0$. A constante $a > 0$ é o módulo de elasticidade da corda (que prende o cabo principal ao convés). Os coeficientes positivos ρ_1 e ρ_2 são a densidade da massa e o momento de inércia da viga, respectivamente. Além disso, b representa o coeficiente de rigidez da secção transversal e k representa o módulo de elasticidade do material do deck.

MODELO AMORTECIDO:

$$u_{tt} - au_{xx} - \tau(\phi - u) + c_1 \partial_t^{\alpha, \eta} u = 0, \quad (1)$$

$$\rho_1 \phi_{tt} - k(\phi_x + \psi)_x + \tau(\phi - u) + c_2 \partial_t^{\beta, \zeta} \phi = 0, \quad (2)$$

$$\rho_2 \psi_{tt} - b\psi_{xx} + k(\phi_x + \psi) + c_3 \partial_t^{\theta, \xi} \psi = 0. \quad (3)$$

Introdução

onde $\partial_t^{\omega, \delta}$ é o operador integro-diferencial fracionário de Caputo exponencialmente modificado de ordem ω e peso δ , definido por:

$$\partial_t^{\omega, \delta} f(t) = \mathcal{I}^{1-\omega, \delta} f'(t) := \frac{1}{\Gamma(1-\omega)} \int_0^t e^{-\delta(t-s)} (t-s)^{-\omega} f'(s) ds,$$

com $0 < \omega < 1$, $\delta \geq 0$ e $f \in W^{1,1}([0, +\infty))$.

Modelo Ampliado

Lema 1

Sejam $p(y) = |y|^{\frac{2\omega-1}{2}}$, $y \in \mathbb{R}$, $0 < \omega < 1$.

A relação entre a entrada \mathcal{U} e a saída \mathcal{O} do seguinte sistema

$$\begin{cases} \varphi_t(t, y) + (|y|^2 + \delta)\varphi(t, y) = p(y)\mathcal{U}(t), \\ \varphi(0, y) = 0, \\ \mathcal{O}(t) = \gamma \int_{\mathbb{R}} p(y)\varphi(t, y)dy, \end{cases}$$

onde $\mathcal{U} \in C([0, +\infty))$, e $\gamma = \frac{\sin \omega \pi}{\pi} = \frac{1}{\Gamma(\omega)\Gamma(1-\omega)}$, é dada por:

$$\mathcal{O}(t) = I^{1-\omega, \delta}\mathcal{U}(t).$$

Modelo Ampliado

$$u_{tt} - a u_{xx} - \tau(\phi - u) + \gamma_1 \int_{\mathbb{R}} p(y) \varphi_1(y) dy = 0, \quad (4)$$

$$\rho_1 \phi_{tt} - k(\phi_x + \psi)_x + \tau(\phi - u) + \gamma_2 \int_{\mathbb{R}} q(y) \varphi_2(y) dy = 0, \quad (5)$$

$$\rho_2 \psi_{tt} - b \psi_{xx} + k(\phi_x + \psi) + \gamma_3 \int_{\mathbb{R}} r(y) \varphi_3(y) dy = 0, \quad (6)$$

$$(\varphi_1)_t(y) + (|y|^2 + \eta) \varphi_1(y) - p(y) u_t = 0, \quad (7)$$

$$(\varphi_2)_t(y) + (|y|^2 + \zeta) \varphi_2(y) - q(y) \phi_t = 0, \quad (8)$$

$$(\varphi_3)_t(y) + (|y|^2 + \xi) \varphi_3(y) - r(y) \psi_t = 0. \quad (9)$$

Energia do Modelo Ampliado

A *energia* do sistema ampliado é dada por:

$$\begin{aligned} E(t) = & \frac{a}{2} \int_0^L |u_x(x, t)|^2 dx + \int_0^L \frac{\tau}{2} |(\phi - u)(x, t)|^2 dx \\ & + \frac{k}{2} \int_0^L |(\phi_x + \psi)(x, t)|^2 dx + \frac{b}{2} \int_0^L |\psi_x(x, t)|^2 dx + \frac{1}{2} \int_0^L |u_t(x, t)|^2 dx \\ & + \frac{\rho_1}{2} \int_0^L |\phi_t(t)|^2 dx + \frac{\rho_2}{2} \int_0^L |\psi_t(x, t)|^2 dx + \frac{\gamma_1}{2} \int_{\mathbb{R}} \int_0^L |\varphi_1(x, t, y)|^2 dx dy \\ & + \frac{\gamma_2}{2} \int_{\mathbb{R}} \int_0^L |\varphi_2(x, t, y)|^2 dx dy + \frac{\gamma_3}{2} \int_{\mathbb{R}} \int_0^L |\varphi_3(x, t, y)|^2 dx dy. \end{aligned}$$

Energia do Modelo Ampliado

A energia E satisfaz

$$\begin{aligned} E'(t) = & -\gamma_1 \int_{\mathbb{R}} \int_0^L (|y|^2 + \eta) |\varphi_1(x, t, y)|^2 dx dy \\ & - \gamma_2 \int_{\mathbb{R}} \int_0^L (|y|^2 + \zeta) |\varphi_2(x, t, y)|^2 dx dy \\ & - \gamma_3 \int_{\mathbb{R}} \int_0^L (|y|^2 + \theta) |\varphi_3(x, t, y)|^2 dx dy. \end{aligned}$$

Formulação do Semigrupo Associado

$$\mathcal{H} = [H_0^1(0, L) \times L^2(0, L)]^3 \times [L^2(\mathbb{R}; L^2(0, L))]^3$$

munido do seguinte produto interno

$$\begin{aligned}\langle U, \tilde{U} \rangle_{\mathcal{H}} &= a \langle u, \tilde{u} \rangle_{H_0^1(0, L)} + \langle v, \tilde{v} \rangle_{L^2(0, L)} + \rho_1 \langle w, \tilde{w} \rangle_{L^2(0, L)} + \rho_2 \langle z, \tilde{z} \rangle_{L^2(0, L)} \\ &\quad + b \langle \psi, \tilde{\psi} \rangle_{H_0^1(0, L)} + \tau \langle \phi - u, \tilde{\phi} - \tilde{u} \rangle_{L^2(0, L)} + k \langle \phi_x + \psi, \tilde{\phi}_x + \tilde{\psi} \rangle_{L^2(0, L)} \\ &\quad + \gamma_1 \langle \varphi_1, \tilde{\varphi}_1 \rangle_{L^2(\mathbb{R}; L^2(0, L))} + \gamma_2 \langle \varphi_2, \tilde{\varphi}_2 \rangle_{L^2(\mathbb{R}; L^2(0, L))} \\ &\quad + \gamma_3 \langle \varphi_3, \tilde{\varphi}_3 \rangle_{L^2(\mathbb{R}; L^2(0, L))},\end{aligned}$$

onde $U = (u, v, \phi, w, \psi, z, \varphi_1, \varphi_2, \varphi_3)$ e
 $\tilde{U} = (\tilde{u}, \tilde{v}, \tilde{\phi}, \tilde{w}, \tilde{\psi}, \tilde{z}, \tilde{\varphi}_1, \tilde{\varphi}_2, \tilde{\varphi}_3)$.

Formulação do Semigrupo Associado

Fazendo $u_t = v$, $\phi_t = w$ e $\psi_t = z$, podemos reescrever o problema ampliado na forma de Cauchy:

$$\begin{cases} U_t - \mathcal{A}U = 0, \\ U(0) = U_0, \end{cases} \quad (10)$$

onde $U_0 = (u_0, u_1, \phi_0, \phi_1, \psi_0, \psi_1, 0, 0, 0)$ e

$$\mathcal{A} : D(\mathcal{A}) \subset \mathcal{H} \rightarrow \mathcal{H}$$

é o operador definido por

Formulação do Semigrupo Associado

$$\mathcal{A}U = \begin{pmatrix} v \\ au_{xx} + \tau(\phi - u) - \gamma_1 \int_{\mathbb{R}} p(y)\varphi_1(y)dy \\ w \\ \frac{1}{\rho_1} [k(\phi_x + \psi)_x - \tau(\phi - u) - \gamma_2 \int_{\mathbb{R}} q(y)\varphi_2(y)dy] \\ z \\ \frac{1}{\rho_2} [b\psi_{xx} - k(\phi_x + \psi) - \gamma_3 \int_{\mathbb{R}} r(y)\varphi_3(y)dy] \\ -(|y|^2 + \eta)\varphi_1(y) + p(y)v \\ -(|y|^2 + \zeta)\varphi_2(y) + q(y)w \\ -(|y|^2 + \xi)\varphi_3(y) + r(y)z \end{pmatrix}.$$

Boa-Colocação

Theorem 1 (Existência e Unicidade de Solução)

Se $U_0 \in \mathcal{H}$, o problema de Cauchy (10) admite uma única solução fraca $U \in C([0, +\infty); \mathcal{H})$, dada por $U(t) = e^{tA}U_0$.

Para $U_0 \in \mathcal{D}(A)$, a solução encontrada é uma solução forte com a seguinte regularidade

$$U \in C([0, +\infty); \mathcal{D}(A)) \cap C^1([0, +\infty); \mathcal{H}).$$

Esboço da Demonstração

Utilizar o Teorema de Lumer-Phillips para provar que o operador \mathcal{A} é gerador infinitesimal de um C_0 -semigrupo de contração.

Esboço da Demonstração

Utilizar o Teorema de Lumer-Phillips para provar que o operador \mathcal{A} é gerador infinitesimal de um C_0 -semigrupo de contração.

1

$$\begin{aligned} \operatorname{Re}\langle \mathcal{A}U, U \rangle_{\mathcal{H}} &= -\gamma_1 \int_{\mathbb{R}} \int_0^L (|y|^2 + \eta) |\varphi_1(x, y)|^2 dx dy \\ &\quad -\gamma_2 \int_{\mathbb{R}} \int_0^L (|y|^2 + \zeta) |\varphi_2(x, y)|^2 dx dy \\ &\quad -\gamma_3 \int_{\mathbb{R}} \int_0^L (|y|^2 + \xi) |\varphi_3(x, y)|^2 dx dy \leq 0. \end{aligned}$$

Esboço da Demonstração

Utilizar o Teorema de Lumer-Phillips para provar que o operador \mathcal{A} é gerador infinitesimal de um C_0 -semigrupo de contração.

1

$$\begin{aligned} \operatorname{Re}\langle \mathcal{A}U, U \rangle_{\mathcal{H}} &= -\gamma_1 \int_{\mathbb{R}} \int_0^L (|y|^2 + \eta) |\varphi_1(x, y)|^2 dx dy \\ &\quad -\gamma_2 \int_{\mathbb{R}} \int_0^L (|y|^2 + \zeta) |\varphi_2(x, y)|^2 dx dy \\ &\quad -\gamma_3 \int_{\mathbb{R}} \int_0^L (|y|^2 + \xi) |\varphi_3(x, y)|^2 dx dy \leq 0. \end{aligned}$$

2 $\mathcal{I} - \mathcal{A}$ é sobrejetivo.

Comportamento Assintótico

Proposição 1

Se $\lambda \in \mathbb{R}$, então $i\lambda\mathcal{I} - \mathcal{A}$ é injetivo.

Comportamento Assintótico

Proposição 1

Se $\lambda \in \mathbb{R}$, então $i\lambda\mathcal{I} - \mathcal{A}$ é injetivo.

Proposição 2

Se $\eta = 0$ ou $\zeta = 0$ ou $\xi = 0$ então o operador \mathcal{A} não é invertível e consequentemente $0 \in \sigma(\mathcal{A})$.

Comportamento Assintótico

Proposição 1

Se $\lambda \in \mathbb{R}$, então $i\lambda\mathcal{I} - \mathcal{A}$ é injetivo.

Proposição 2

Se $\eta = 0$ ou $\zeta = 0$ ou $\xi = 0$ então o operador \mathcal{A} não é invertível e consequentemente $0 \in \sigma(\mathcal{A})$.

Proposição 3

- (a) Se $\eta = 0$ ou $\zeta = 0$ ou $\xi = 0$, então $i\lambda\mathcal{I} - \mathcal{A}$ é sobrejetivo, para $\lambda \neq 0$.
- (b) Se $\eta, \zeta, \xi > 0$ e $\lambda \in \mathbb{R}$, então $i\lambda\mathcal{I} - \mathcal{A}$ é sobrejetivo.

Falta de decaimento Exponencial

Theorem 2 (Gearhart-Prüss-Huang [3])

Seja $\{\mathcal{S}(t)\}_{t \geq 0}$ um C_0 - semigrupo de contração sobre um espaço de Hilbert \mathcal{H} . Se $\{\mathcal{S}(t)\}_{t \geq 0}$ é gerado pelo operador \mathcal{A} , então $\{\mathcal{S}(t)\}_{t \geq 0}$ é exponencialmente estável se, e somente se

$$\varrho(\mathcal{A}) \supset i\mathbb{R} \quad \text{e} \quad \limsup_{|\lambda| \rightarrow +\infty} \|(i\lambda\mathcal{I} - \mathcal{A})^{-1}\|_{\mathcal{L}(\mathcal{H})} < \infty, \quad \forall \lambda \in \mathbb{R}.$$

Estabilidade Forte

Theorem 3 (Arendt-Batty [1], Lyubich-Vũ [4])

Seja \mathcal{A} o gerador de um C_0 semigrupo de contrações $(e^{t\mathcal{A}})_{t \geq 0}$ em um espaço de Banach reflexivo X . Se as seguintes condições são satisfeitas

- (i) \mathcal{A} não possui autovalores imaginários puros;
- (ii) $\sigma(\mathcal{A}) \cap i\mathbb{R}$ é enumerável.

então, $(e^{t\mathcal{A}})_{t \geq 0}$ é fortemente estável. Isto é

$$\lim_{t \rightarrow \infty} \|e^{t\mathcal{A}}x\| = 0; \quad \forall x \in X.$$

Estabilidade Polinomial

Theorem 4 (Borichev-Tomilov [2])

Seja $(e^{t\mathcal{A}})_{t \geq 0}$ um C_0 -semigrupo de contrações sobre um espaço de Hilbert \mathcal{H} tal que $i\mathbb{R} \subset \rho(\mathcal{A})$. Então $(e^{t\mathcal{A}})_{t \geq 0}$ é polinomialmente estável, isto é: para cada $x \in \mathcal{D}(\mathcal{A})$,

$$\|e^{t\mathcal{A}}x\| \leq \frac{C}{t^\omega} \|x\|_{\mathcal{D}(\mathcal{A})}; \quad \forall t \geq 0, \tag{11}$$

for some $C > 0$ and for $\omega > 0$,

se, e somente se,

$$\limsup_{|\lambda| \rightarrow \infty} \frac{1}{|\lambda|^{1/\omega}} \|(i\lambda\mathcal{I} - \mathcal{A})^{-1}\|_{\mathcal{L}(\mathcal{H})} < \infty$$

Estabilidade Polinomial

Theorem 5

Para $U_0 \in \mathcal{D}(\mathcal{A})$ e $\eta, \zeta, \xi > 0$, o C_0 -semigrupo $(e^{t\mathcal{A}})_{t \geq 0}$ é polinomialmente estável. Mais precisamente

$$\|e^{t\mathcal{A}}U_0\| \leq \frac{C}{t^\omega} \|U_0\|_{\mathcal{D}(\mathcal{A})}, \quad t > 0,$$

onde $1/\omega = 6 - 2 \max\{\alpha, \beta, \theta\}$.

Bibliografia

-  Arendt, W., Batty, C. J. K.: Tauberian theorems and stability of one-parameter semigroups. *Trans. Am. Math. Soc.* **306**(2), 837–852 (1988).
-  Borichev, A., Tomilov, Y.: Optimal polynomial decay of function and operator semigroups. *Math. Ann.* **347**, 455–478 (2010)
-  Gearhart, L.: Spectral theory for contraction semigroups on Hilbert space. *Trans. Amer. Math. Soc.* **236**, 385–394 (1978)
-  Lyubich, I. Y. Vu, , Q. P.: Asymptotic stability of linear differential equations in Banach spaces. *Stud. Math.* **88**(1), 37–42 (1988)
-  Raposo, C., Correia, L., Ribeiro, J. and Cunha, A.: Suspension bridge with internal damping. *Acta. Math.* (2023) <https://doi.org/10.1007/s00707-023-03744-7>